

Corso di aggiornamento  
Progettazione strutturale e  
Norme Tecniche per le Costruzioni 2008

**Progetto di aste e collegamenti in acciaio**

7 - Classificazione dei collegamenti e collegamenti bullonati

Spoletto  
21-23 ottobre 2010  
Edoardo M. Marino

# Classificazione dei collegamenti

# Tipi di collegamenti

## 1. Collegamento a parziale ripristino di resistenza

In grado di trasmettere le caratteristiche di sollecitazione di progetto

## 2. Collegamento a completo ripristino di resistenza

In grado di trasmettere le caratteristiche di sollecitazione ultime del meno resistente tra gli elementi collegati

# Tipi di collegamenti

1. Collegamento bullonati
2. Collegamenti saldati

## Resistenze da usare

- Sempre i valori ultimi (non quelli di snervamento)

Bulloni:  $f_{ub}$

Saldature:

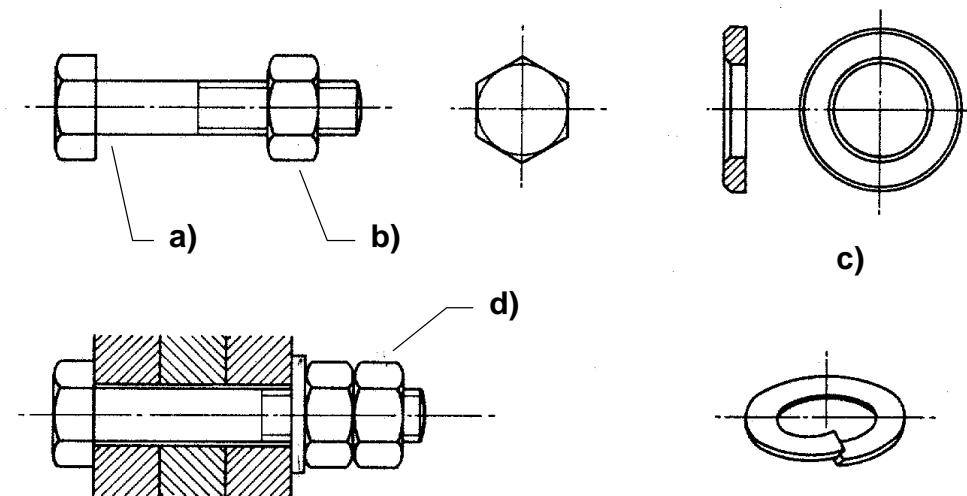
si dovrebbe usare  $f_{uw}$  (resistenza della saldatura);  
per comodità la si riporta a  $f_u$  del materiale base

Collegamenti bullonati

# I bulloni

Sono costituiti da:

- a) vite con testa esagonale e gambo filettato in tutta o in parte
- b) dado di forma esagonale
- c) rondella sia del tipo elastico che rigido (o rosetta)
- d) controdado (se necessario) per garantire che il dado non si sviti neanche in presenza di vibrazioni



# I bulloni

## caratteristiche geometriche

- diametro (nominale)  
individuato dalla lettera M più il diametro in mm

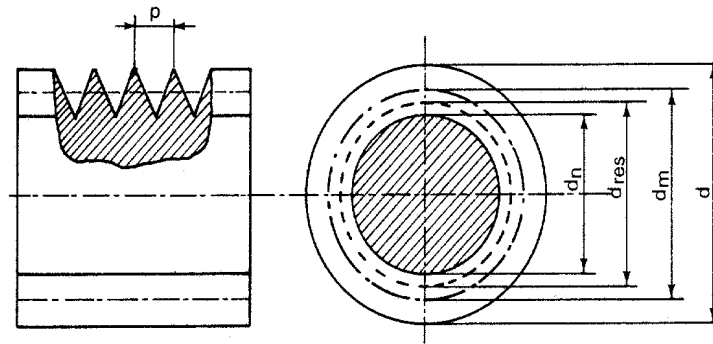
diámetro (mm)	12	14	16	18	20	22	24	27	30
sigla	M12	M14	M16	M18	M20	M22	M24	M27	M30

- lunghezza  
tale da assicurare l'attraversamento degli elementi da collegare;  
non eccessiva per evitare sprechi e necessità di tagliare i pezzi  
in eccesso
- lunghezza della parte filettata

# I bulloni

## area nominale ed area resistente

- la sezione si riduce in corrispondenza della filettatura



sigla	M12	M14	M16	M18	M20	M22	M24	M27	M30
$A \text{ (mm}^2\text{)}$	113	154	201	254	314	380	452	573	707
$A_{res} \text{ (mm}^2\text{)}$	84.3	115	157	192	245	303	353	459	581
$A_{res} / A$	0.75	0.75	0.78	0.75	0.78	0.80	0.78	0.80	0.82



# I bulloni

## classe di resistenza

- Sigla che individua le caratteristiche dell'acciaio:  
due numeri separati da un punto
  - Primo numero: indica la tensione di rottura in MPa  
(divisa per 100: 4 → 400 MPa)
  - Secondo numero: indica il rapporto tra tensione di  
snervamento e tensione di rottura (moltiplicato per  
10: 6 → 0.6)

bulloni ad alta resistenza

- Classi previste dalle NTC08:

classe	4.6	5.6	6.8	8.8	10.9
$f_{ub}$ (MPa)	400	500	600	800	1000
$f_{yb}$ (MPa)	240	300	480	640	900

# I bulloni diametri dei fori

- condiziona sia la facilità di montaggio della struttura che la sua deformazione

$d$  diametro bullone

$d_0$  diametro foro

$d-d_0$  gioco foro-bullone

diametro bullone $d$	12	14	16	18	20	22	24	27	30
NTC08	1	1	1	1	1	1.5	1.5	1.5	1.5
Eurocodice 3	1	1	2	2	2	2	2	3	3

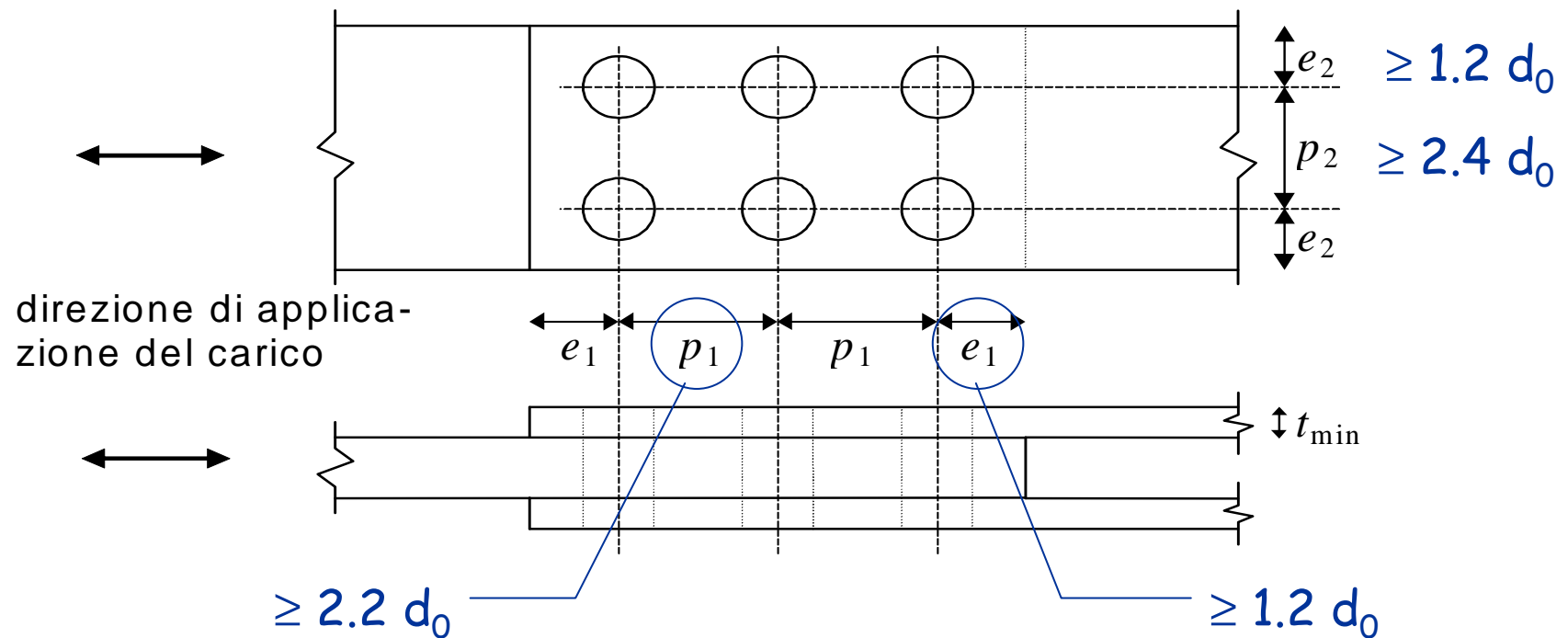
Valori massimi del gioco foro-bullone (mm)

- fori calibrati:  $d-d_0 \leq 0.3 \text{ mm}$   
usati per limitare al massimo le deformazioni indotte dallo scorrimento del bullone nel foro

# I bulloni

## distanze tra fori e foro-bordo

- limiti per le distanze minime, sia in direzione della forza trasmessa che perpendicolarmente



I limiti nascono da problemi di resistenza della lamiera

# I bulloni

## distanze tra fori e foro-bordo

- limiti per le distanze massime, sia in direzione della forza trasmessa che perpendicolarmente

Distanze massime	Esposizione ad fenomeni corrosivi o ambientali	
	Unioni esposte	Unioni non esposte
$e_1$	$4t + 40 \text{ mm}$	--
$e_2$	$4t + 40 \text{ mm}$	--
$p_1$	$\min(14t; 200\text{mm})$	$\min(14t; 200\text{mm})$
$p_2$	$\min(14t; 200\text{mm})$	$\min(14t; 200\text{mm})$

L'instabilità del piatto tra i bulloni non deve essere considerata se

$$p_1 < 9 \sqrt{\frac{235}{f_y}}$$

I limiti nascono da problemi di durabilità e resistenza della lamiera

# I bulloni serraggio

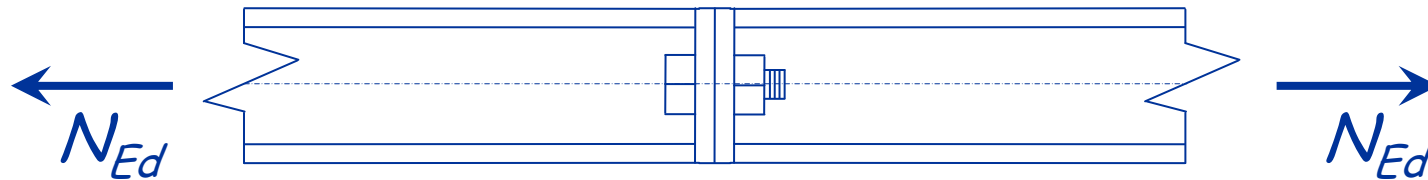
- Serraggio:
  - importante per garantire un buon comportamento e limitare deformabilità
  - fondamentale nelle unioni ad attrito
- Forza di precarico:

$$F_{p,Cd} = 0.7 \frac{f_{ub} A_{res}}{\gamma_{M7}}$$

$$\gamma_{M7} = 1.10$$

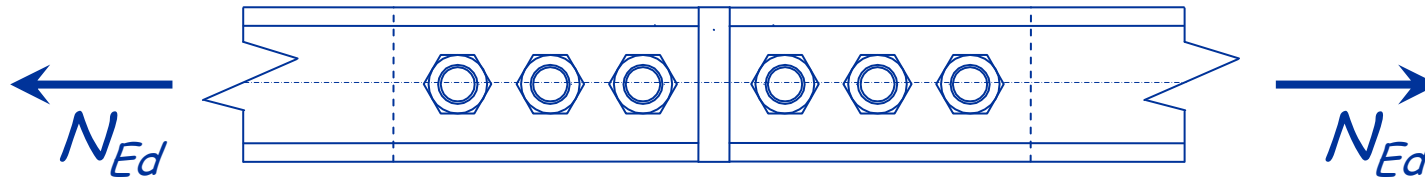
# Collegamenti bullonati modalità di comportamento

1 - Con bulloni sollecitati a trazione

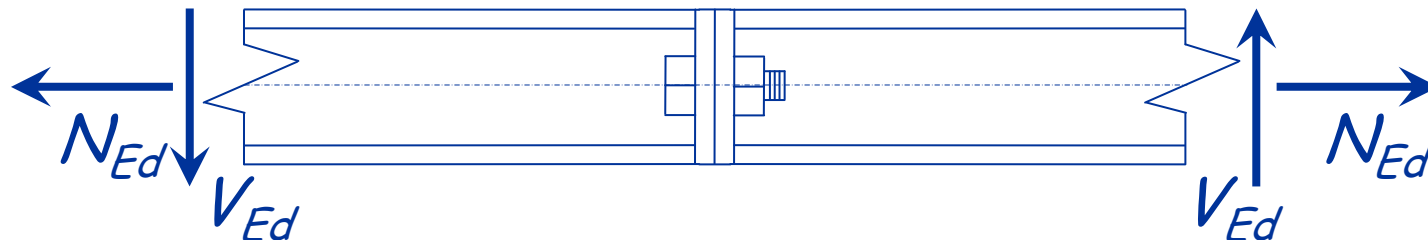


2 - Con bulloni sollecitati a taglio

In alternativa:  
ad attrito

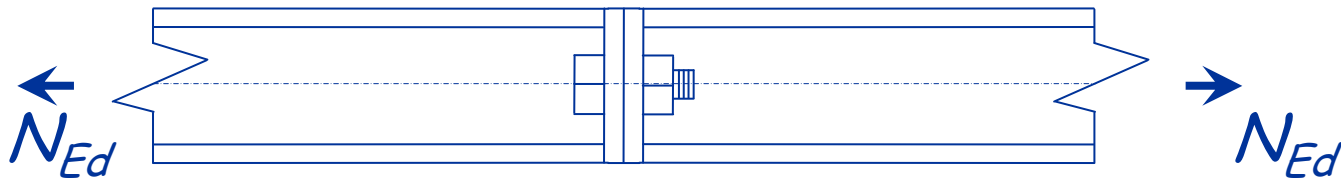


3 - Con bulloni sollecitati a trazione e taglio



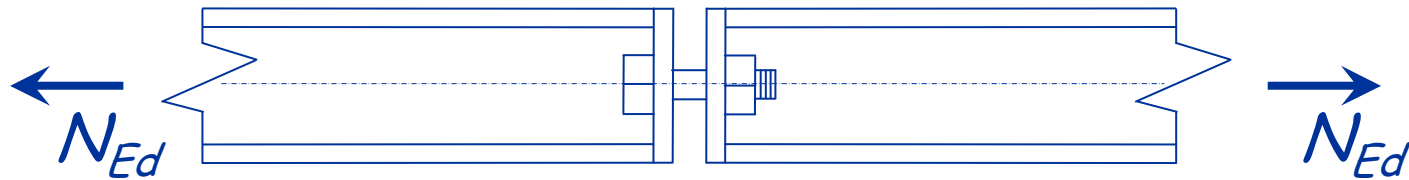
# Collegamenti bullonati bulloni sollecitati a trazione

## Meccanismi di rottura



# Collegamenti bullonati bulloni sollecitati a trazione

## Meccanismi di rottura

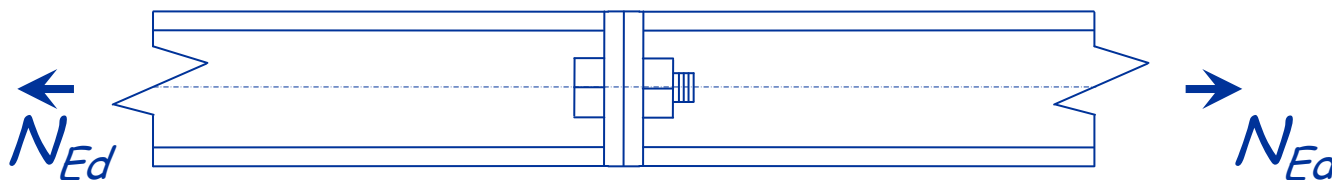
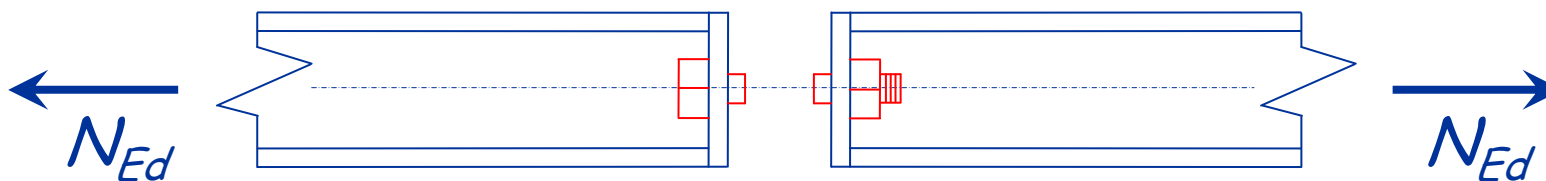




# Collegamenti bullonati con bulloni sollecitati a trazione

## Meccanismi di rottura

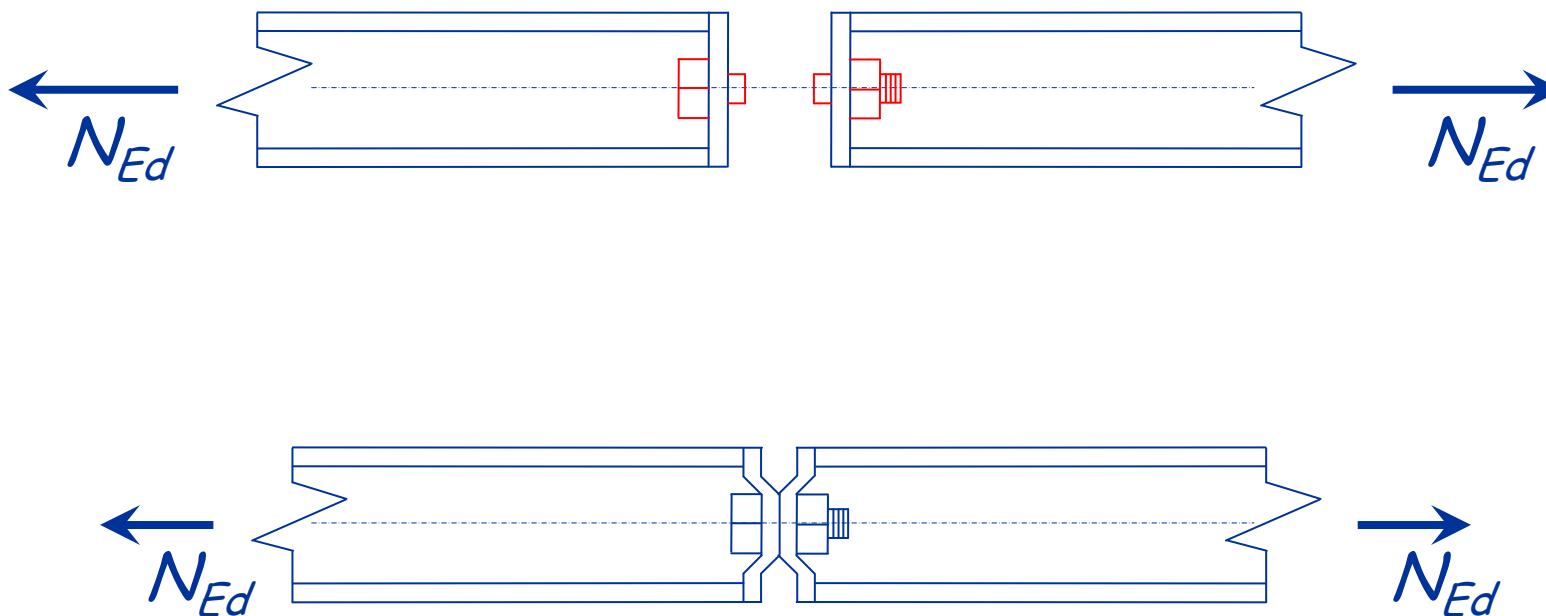
### 1 - Rottura dei bulloni a trazione



# Collegamenti bullonati con bulloni sollecitati a trazione

## Meccanismi di rottura

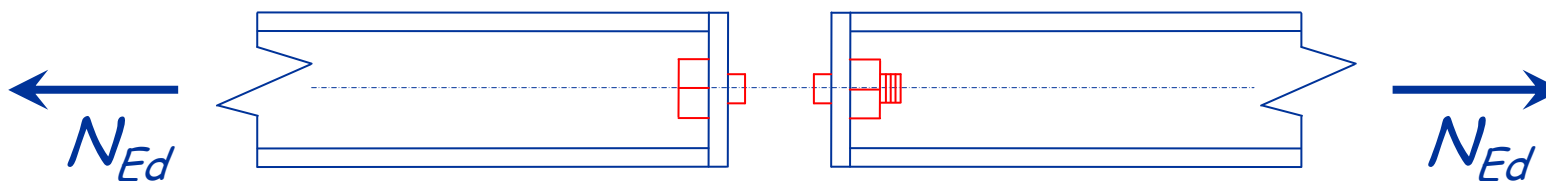
### 1 - Rottura dei bulloni a trazione



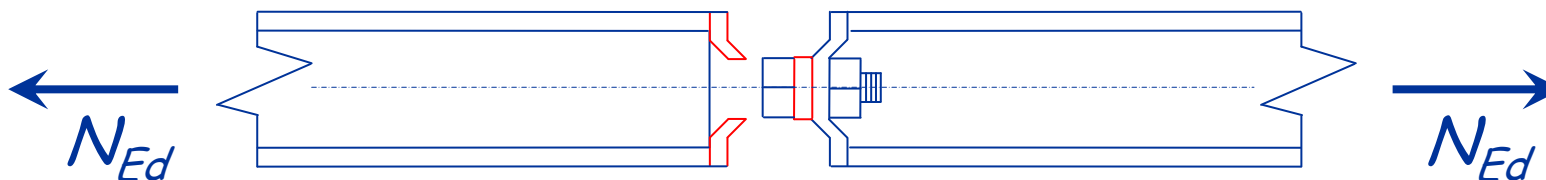
# Collegamenti bullonati con bulloni sollecitati a trazione

## Meccanismi di rottura

### 1 - Rottura dei bulloni a trazione

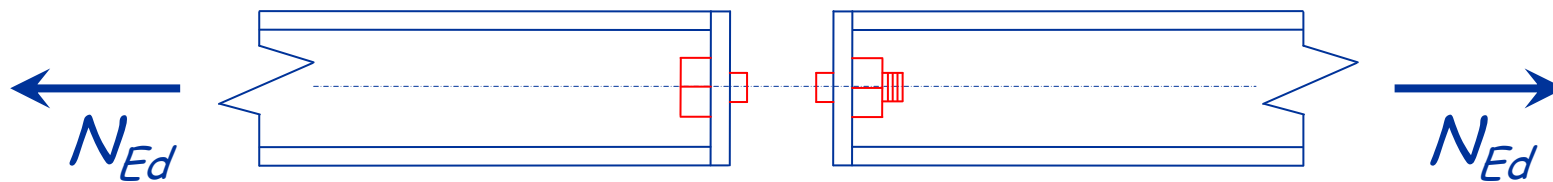


### 2 - Punzonamento della piastra



# Resistenza di collegamenti bullonati con bulloni sollecitati a trazione

## 1 - Rottura dei bulloni a trazione



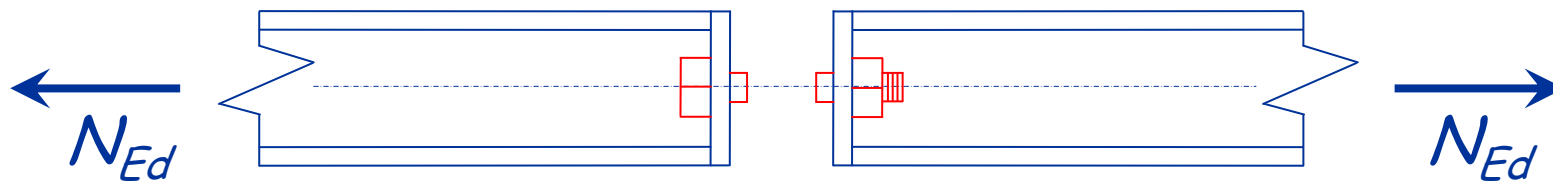
La tensione nel bullone per effetto della forza  $F_t$  è uniforme

$$\sigma = \frac{F_t}{A_{res}}$$

$A_{res}$  Area resistente del bullone

# Resistenza di collegamenti bullonati con bulloni sollecitati a trazione

## 1 - Rottura dei bulloni a trazione



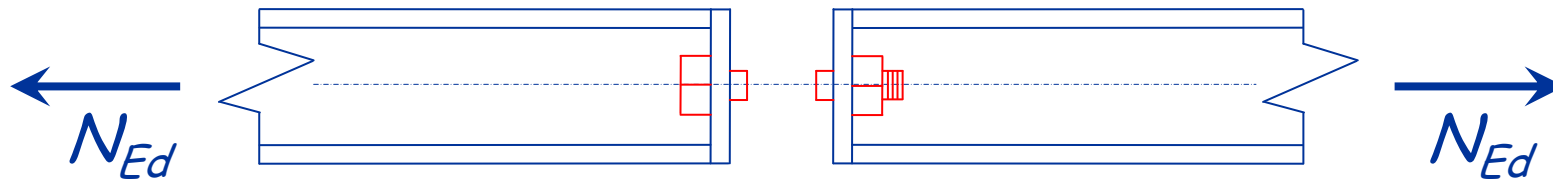
Il bullone si rompe quando la tensione sul bullone è pari a  $f_{ub}$

$$F_{t,max} = A_{res} f_{ub}$$

$A_{res}$  Area resistente del bullone

# Resistenza di collegamenti bullonati con bulloni sollecitati a trazione

## 1 - Rottura dei bulloni a trazione



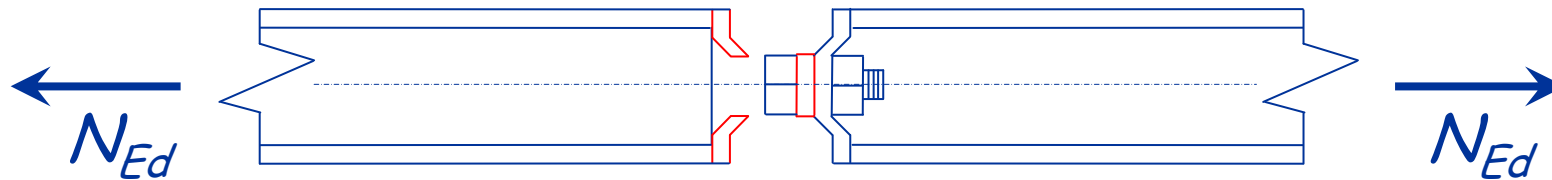
Il bullone si rompe quando la tensione sul bullone è pari a  $f_{ub}$

$$F_{t,Rd} = \frac{0.9 A_{res} f_{ub}}{\gamma_{M2}}$$

$A_{res}$  Area resistente del bullone

# Resistenza di collegamenti bullonati con bulloni sollecitati a trazione

## 2 - Punzonamento della piastra

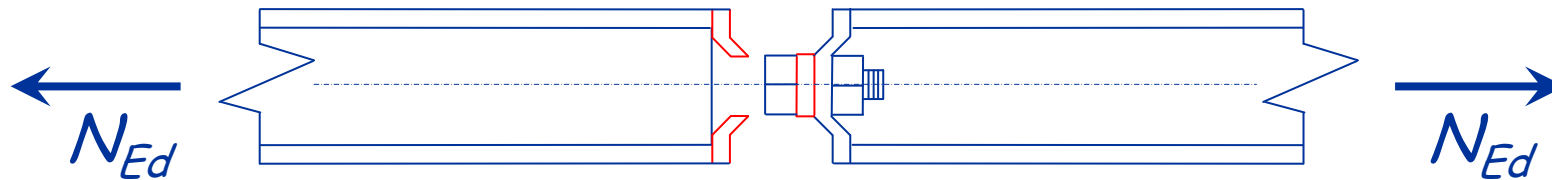


La superficie di rottura è cilindrica con altezza  $t_p$  e diametro  $d_m$

$$\tau = \frac{F_t}{\pi d_m t_p}$$

# Resistenza di collegamenti bullonati con bulloni sollecitati a trazione

## 2 - Punzonamento della piastra



Secondo il criterio di Von Mises la piastra si rompe quando la tensione ideale sulla giacitura di rottura è pari ad  $f_u$ :

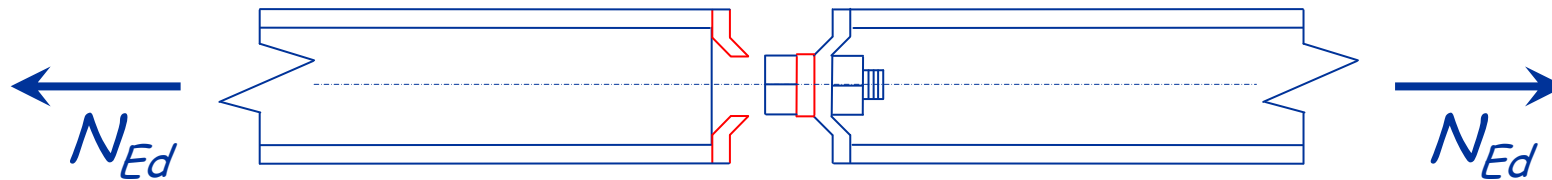
$$\sigma_{id} = \sqrt{(\sigma^2 + 3 \tau^2)} = \sqrt{3} \tau = f_u$$

ovvero...



# Resistenza di collegamenti bullonati con bulloni sollecitati a trazione

## 2 - Punzonamento della piastra



La piastra si rompe quando la tensione tangenziale sulla giacitura di rottura è pari a  $f_u / \sqrt{3}$

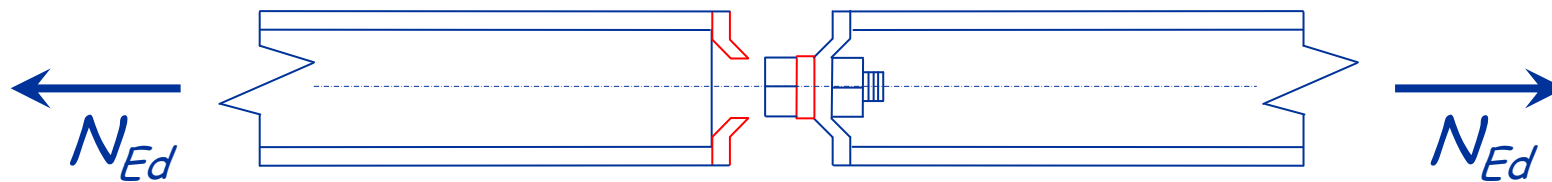
$$B_{p,max} = \pi d_m t_p (f_u / \sqrt{3})$$

$d_m$       Diametro della giacitura di rottura

$t_p$       Spessore della piastra

# Resistenza di collegamenti bullonati con bulloni sollecitati a trazione

## 2 - Punzonamento della piastra



La piastra si rompe quando la tensione tangenziale sulla giacitura di rottura è pari a  $f_u / \sqrt{3}$

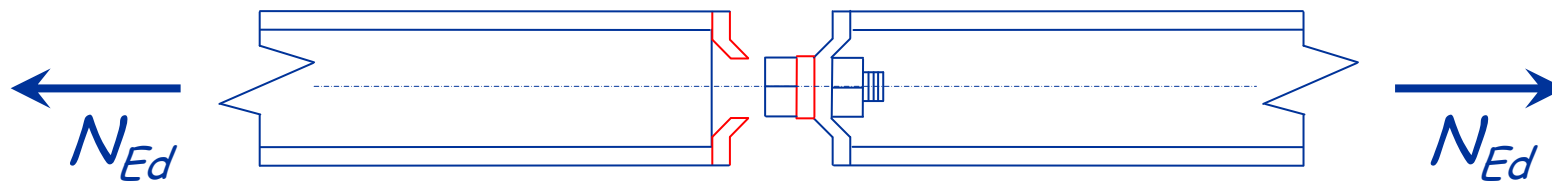
$$B_{p,Rd} = \frac{0.6 \pi d_m t_p f_u}{\gamma_{M2}}$$

$d_m$       Diametro della giacitura di rottura

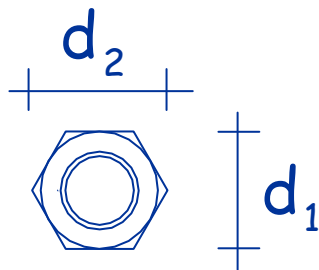
$t_p$       Spessore della piastra

# Resistenza di collegamenti bullonati con bulloni sollecitati a trazione

## 2 - Punzonamento della piastra



Diametro della giacitura di rottura



$$d_m = \frac{d_1 + d_2}{2}$$

# Verifica di collegamenti bullonati con bulloni sollecitati a trazione

## 1 - Rottura dei bulloni a trazione

$$F_{t,Sd} \leq F_{t,Rd} = \frac{0.9 A_{res} f_{ub}}{\gamma_{M2}}$$

$A_{res}$  Area resistente del bullone

## 2 - Punzonamento della piastra

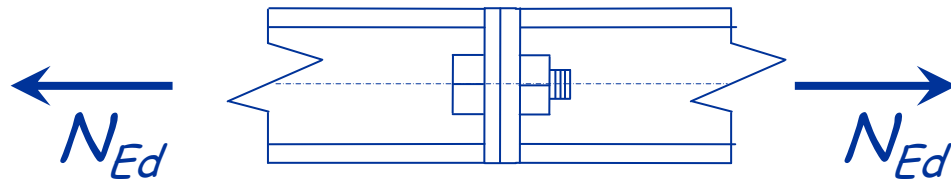
$$F_{t,Sb} \leq B_{p,Rb} = \frac{0.6 \pi d_m t_p f_u}{\gamma_{M2}}$$

$d_m$  Diametro della giacitura di rottura

$t_p$  Spessore della piastra

# Esempio

Dati:



$N_{Ed}$	100 kN
Acciaio	S235
2 Bulloni	M16
	classe 5.6
Piatto	$t_p = 5 \text{ mm}$

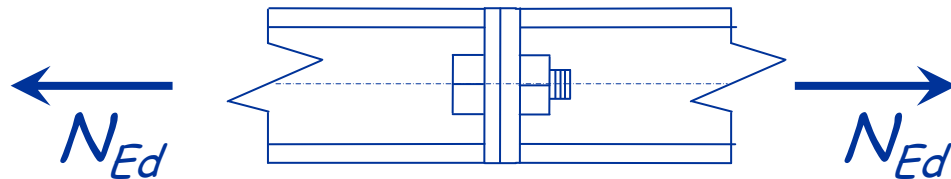
1 - Determinazione di  $F_{t,Rd}$

$$A_{res} = 157 \text{ mm}^2$$

$$F_{t,Rd} = \frac{0.9 A_{res} f_{ub}}{\gamma_{M2}} = \frac{0.9 \times 157 \times 500}{1.25 \times 10^3} = 56.5 \text{ kN}$$

# Esempio

Dati:



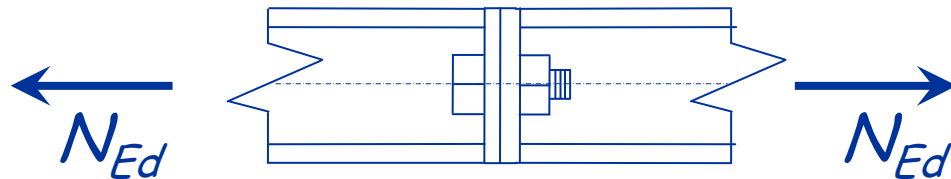
$N_{Ed}$	100 kN
Acciaio	S235
2 Bulloni	M16
	classe 5.6
Piatto	$t_p = 5 \text{ mm}$

2 - Determinazione di  $B_{p,Rd}$

$$B_{p,Rd} = \frac{0.6 \pi d_m t_p f_u}{\gamma_{M2}} = \frac{0.6 \times \pi \times 25 \times 5 \times 360}{1.25 \times 10^3} = 67.9 \text{ kN}$$

# Esempio

Dati:



$N_{Ed}$	100 kN
Acciaio	S235
2 Bulloni	M16
	classe 5.6
Piatto	$t_p = 5 \text{ mm}$

## 3 - Verifica

$$F_{t,Ed} = \frac{N_{Ed}}{n_b} = \frac{100}{2} = 50.0 \text{ kN}$$

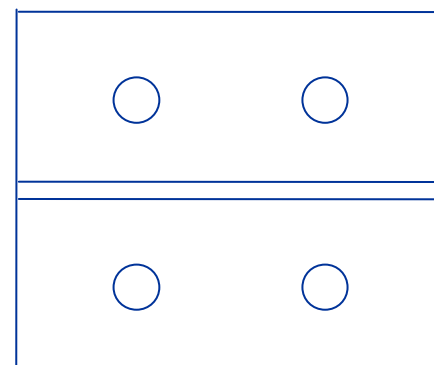
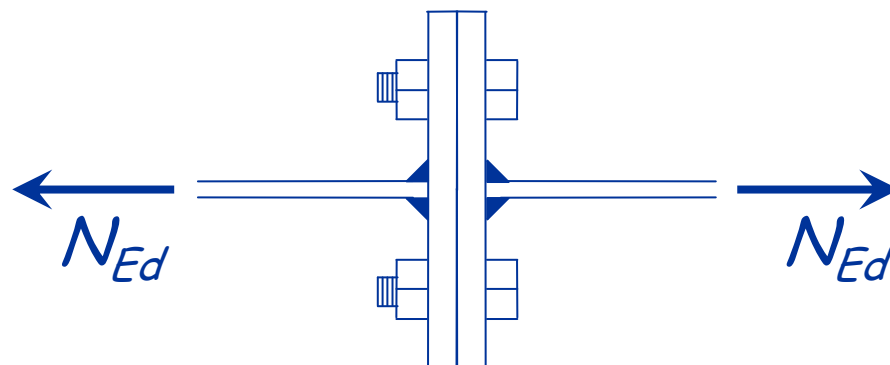
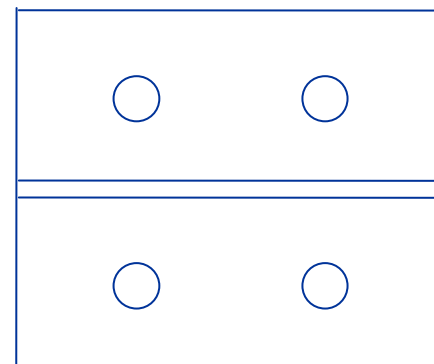
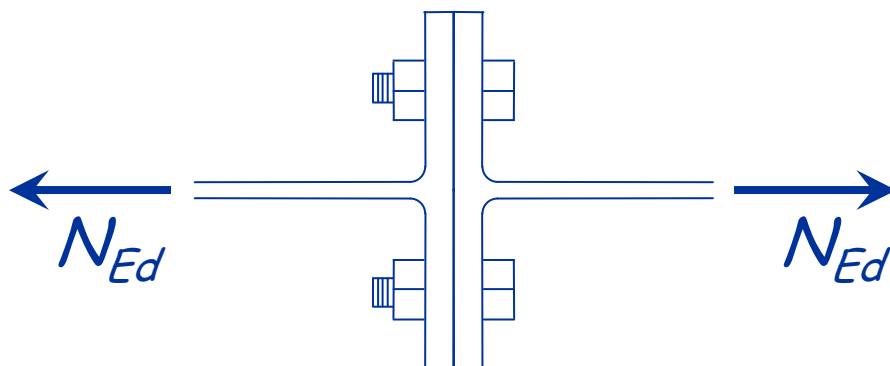
$$< F_{t,Rd} < B_{p,Rd}$$

$$F_{t,Rd} = 56.5 \text{ kN}$$

$$B_{p,Rd} = 67.9 \text{ kN}$$

Il collegamento è verificato

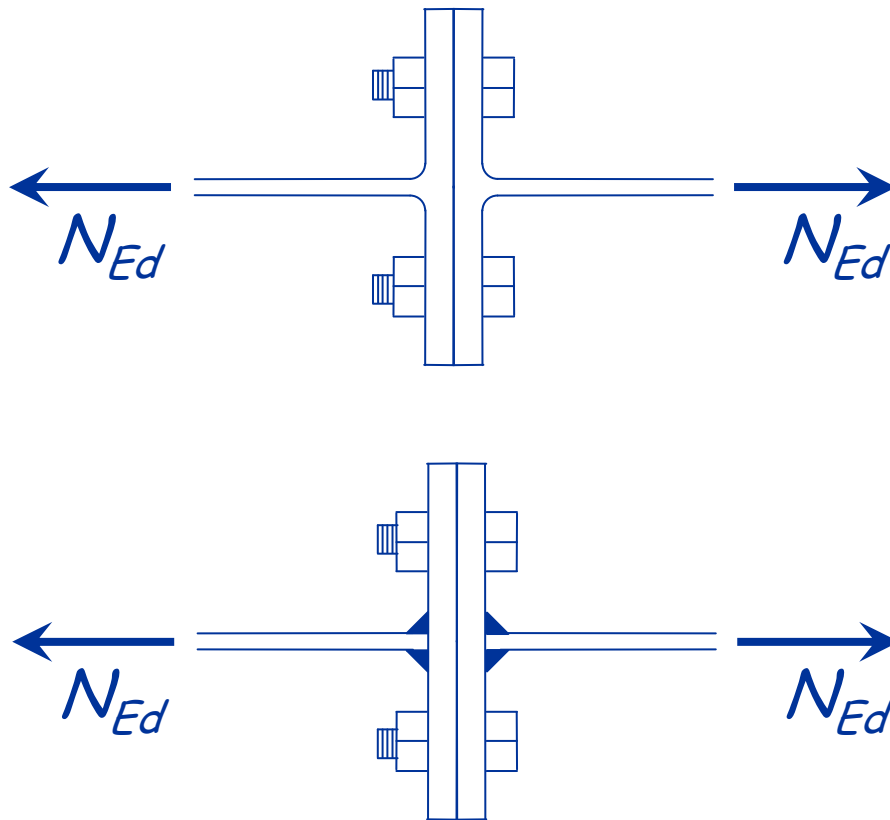
# Collegamento di elementi a T equivalente



I risultati sono utili per la verifica di collegamenti più complessi (es. collegamenti trave-colonna)



# Collegamento di elementi a T equivalente



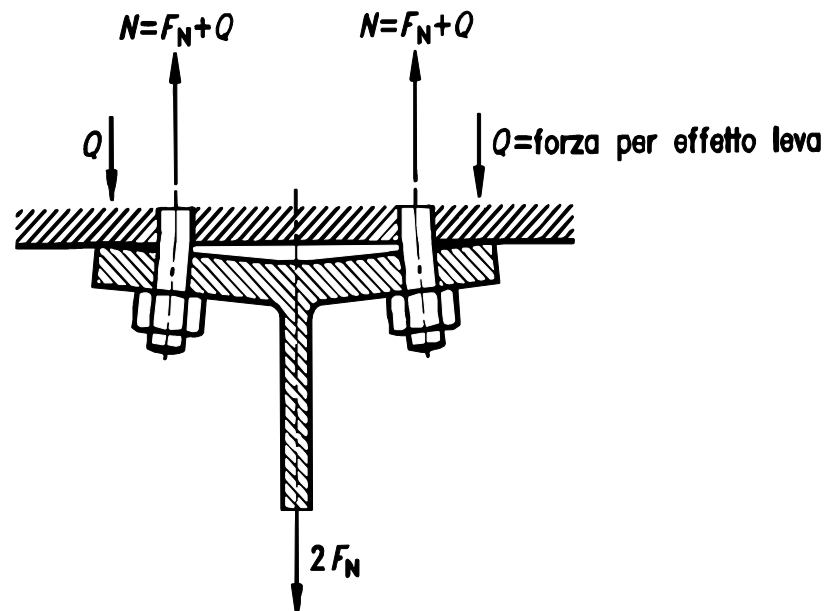
## Verifiche

- Bulloni
  - Rottura a trazione
  - Punzonamento flangia
- Flangia
  - Bisogna considerare diversi meccanismi di collasso

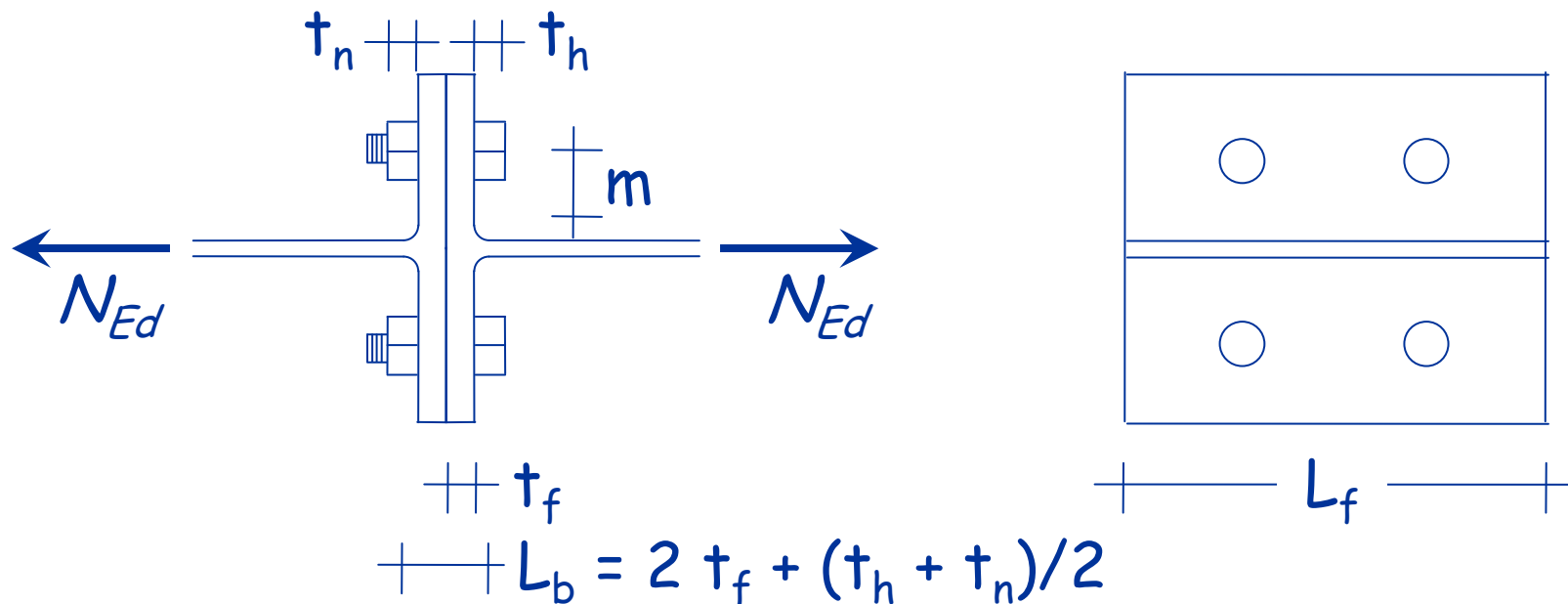
I risultati sono utili per la verifica di collegamenti più complessi (es. collegamenti trave-colonna)

# Collegamento di elementi a T equivalente

- Occorre fare attenzione all'effetto leva
  - incrementare la forza sollecitante dei bulloni
  - modifica la modalità di collasso della flangia
  - irrigidire l'elemento per evitare questa deformazione



# Meccanismi di collasso in assenza di effetto leva



Non si ha effetto leva se la piastra è spessa, ovvero

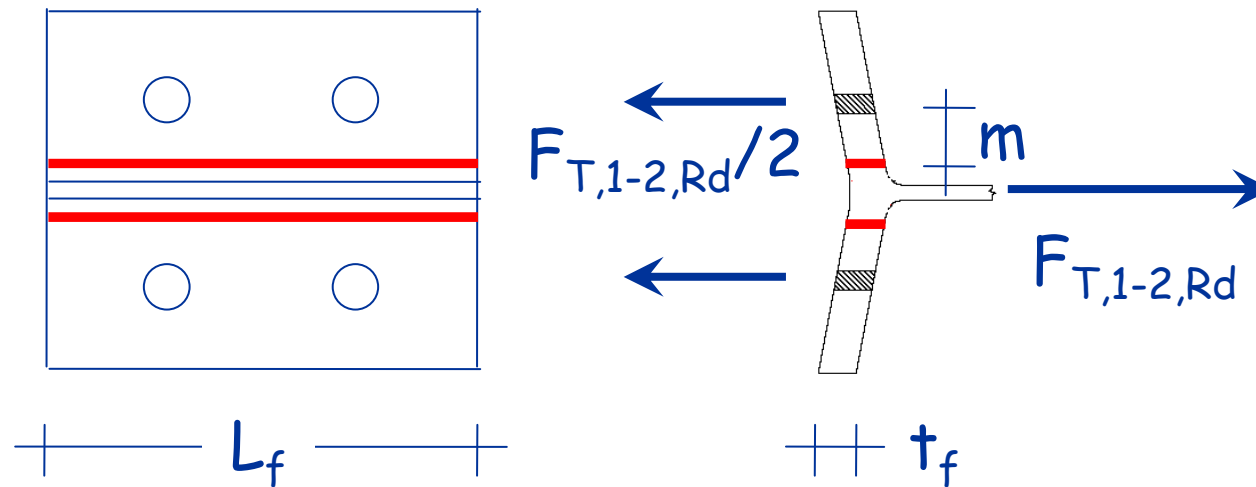
$$L_b \geq \frac{8.8 m^3 A_s}{L_f t_f^3}$$

$L_b$  lunghezza parte del bullone sottoposta a trazione

EN 1993, parte 1-8, punto 6.24.1

# Meccanismi di collasso in assenza di effetto leva

## Meccanismo 1-2: plasticizzazione della flangia

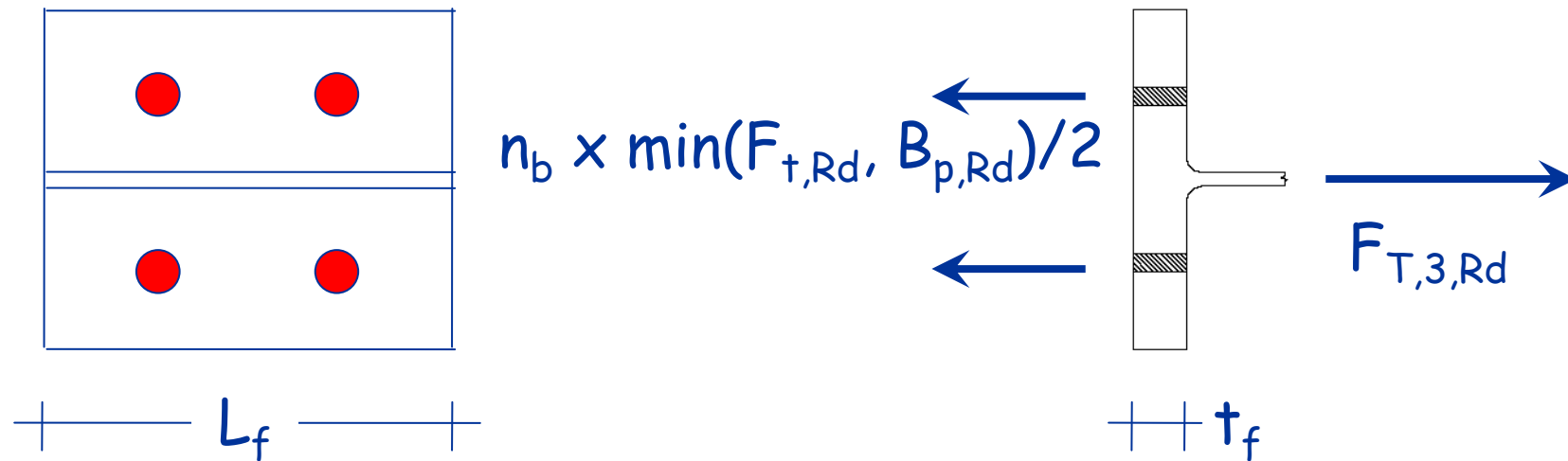


$$M_{pl,Rd} = W_{pl} \frac{f_y}{\gamma_{M0}} = \frac{b_f t_f^2}{4} \frac{f_y}{\gamma_{M0}} \quad \Rightarrow \quad F_{T,1-2,Rd} = \frac{2 M_{pl,Rd}}{m}$$

EN 1993, parte 1-8, punto 6.24.1

# Meccanismi di collasso in assenza di effetto leva

## Meccanismo 3: collasso bulloni

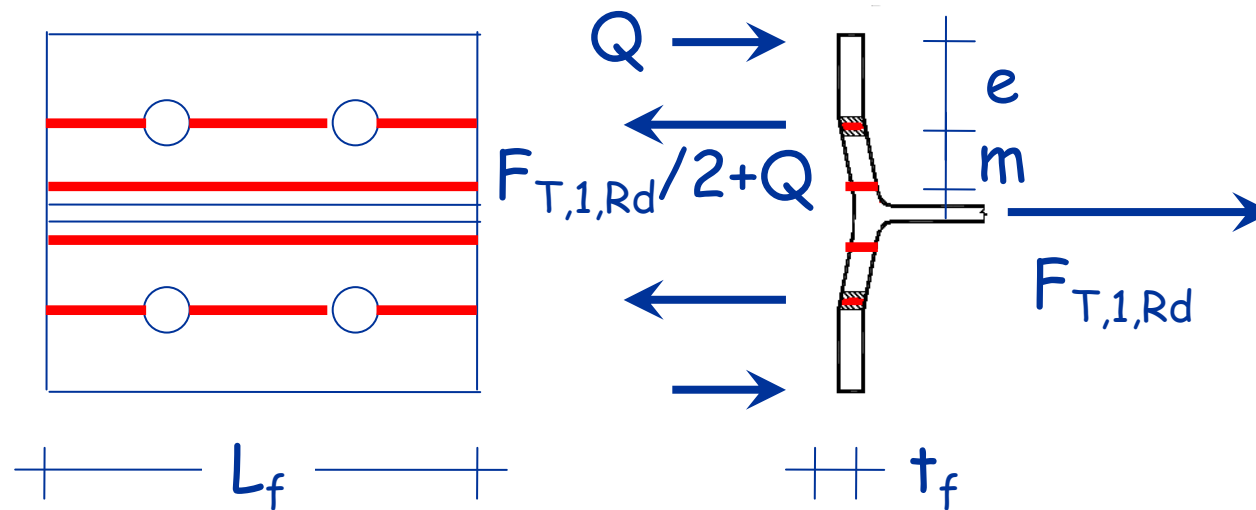


$n_b$  numero di bulloni

$$F_{T,3,Rd} = n_b \min(F_{t,Rd}, B_{p,Rd})$$

# Meccanismi di collasso in presenza di effetto leva

## Meccanismo 1: plasticizzazione della flangia



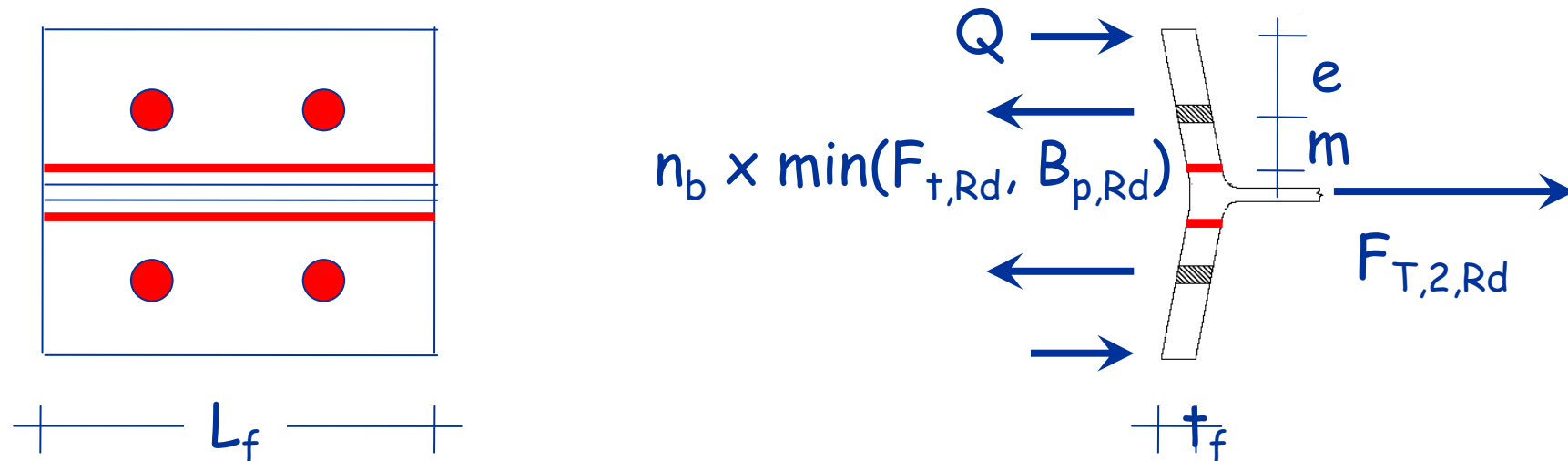
$$Q = M_{pl,Rd} / e$$

$$F_{T,1,Rd} = \frac{4 M_{pl,Rd}}{m} \quad \text{con} \quad M_{pl,Rd} = \frac{b_f t_f^2}{4} \frac{f_y}{\gamma_{M0}}$$

EN 1993, parte 1-8, punto 6.24.1

# Meccanismi di collasso in presenza di effetto leva

## Meccanismo 2: plasticizzazione della flangia



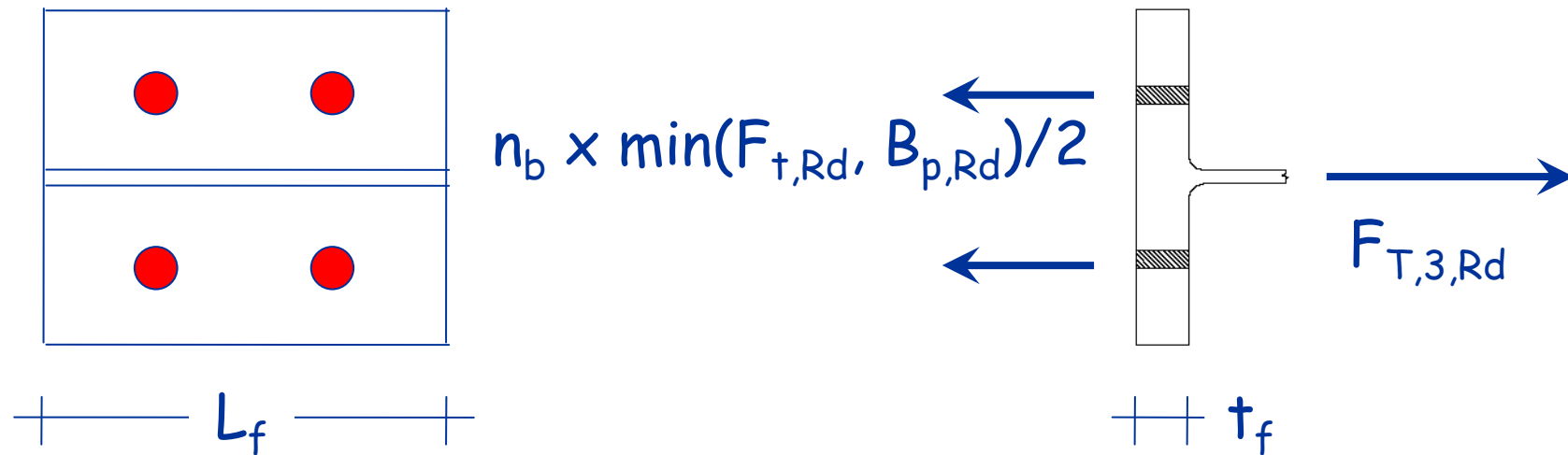
$$Q = [n_b \min(F_{t,Rd}, B_{p,Rd}) - F_{T,2,Rd}] / 2$$

$$F_{T,2,Rd} = \frac{2 M_{pl,Rd} + n_b \min(F_{t,Rd}, B_{p,Rd}) e}{m + e}$$

EN 1993, parte 1-8, punto 6.24.1

# Meccanismi di collasso in presenza di effetto leva

## Meccanismo 3: collasso bulloni



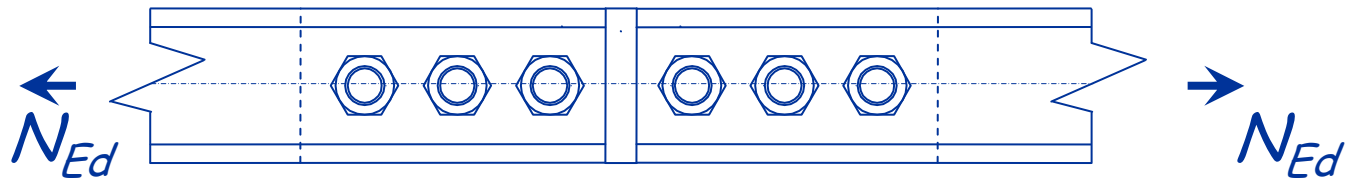
$n_b$  numero di bulloni

$$F_{T,3,Rd} = n_b \min(F_{t,Rd}, B_{p,Rd})$$



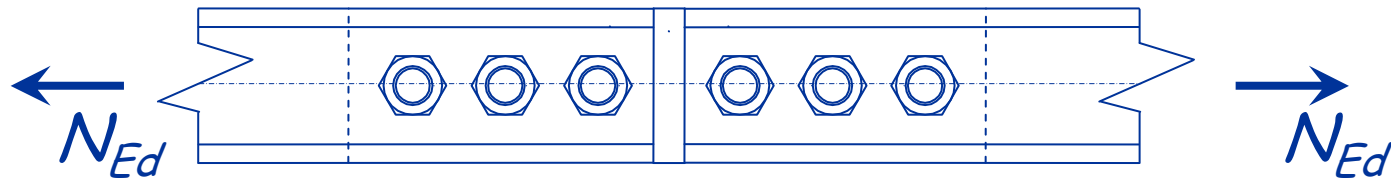
# Collegamenti bullonati con bulloni sollecitati a taglio

## Meccanismi di rottura



# Collegamenti bullonati con bulloni sollecitati a taglio

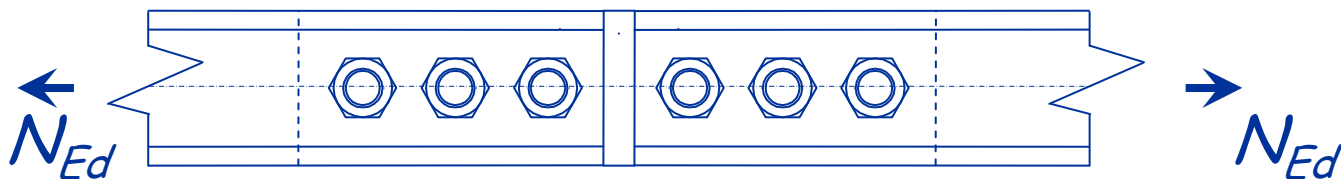
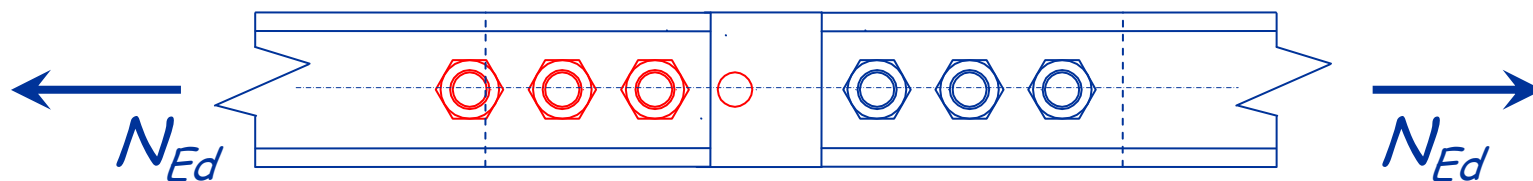
## Meccanismi di rottura



# Collegamenti bullonati con bulloni sollecitati a taglio

## Meccanismi di rottura

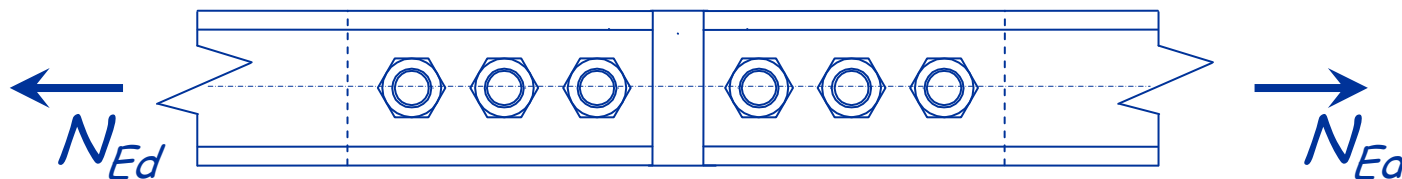
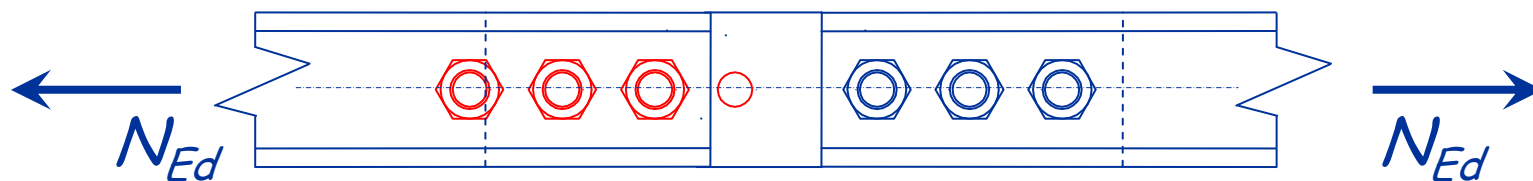
### 1 - Rottura dei bulloni a taglio



# Collegamenti bullonati con bulloni sollecitati a taglio

## Meccanismi di rottura

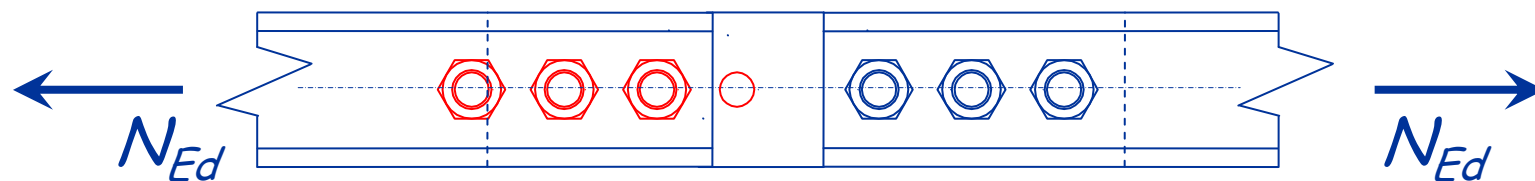
### 1 - Rottura dei bulloni a taglio



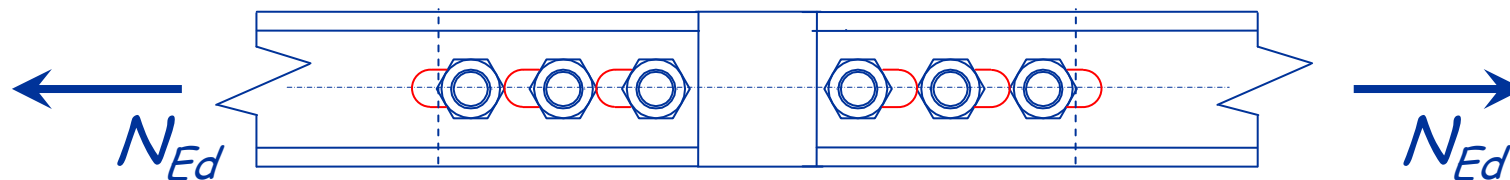
# Collegamenti bullonati con bulloni sollecitati a taglio

## Meccanismi di rottura

### 1 - Rottura dei bulloni a taglio

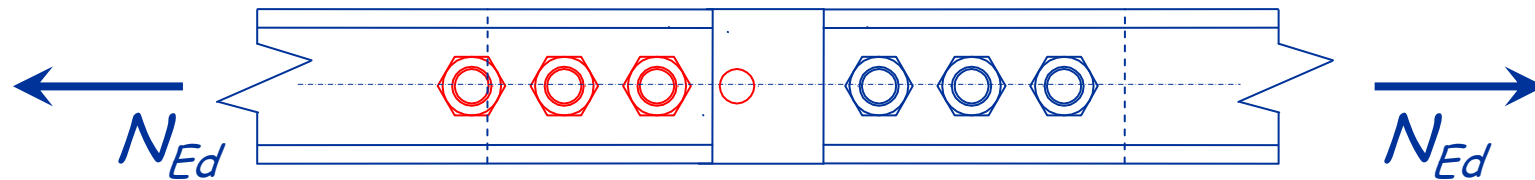


### 2 - Rifollamento delle lamiere



# Resistenza di collegamenti bullonati con bulloni sollecitati a taglio

## 1 - Rottura dei bulloni a taglio



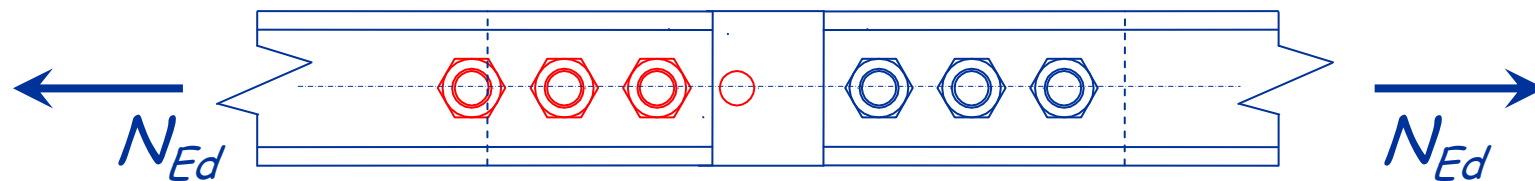
Il bullone si rompe quando la tensione tangenziale sul bullone è pari a  $f_{ub} / \sqrt{3}$

$$F_{V,max} = A (f_{ub} / \sqrt{3})$$

$A$  Area nominale del bullone

# Resistenza di collegamenti bullonati con bulloni sollecitati a taglio

## 1 - Rottura dei bulloni a taglio



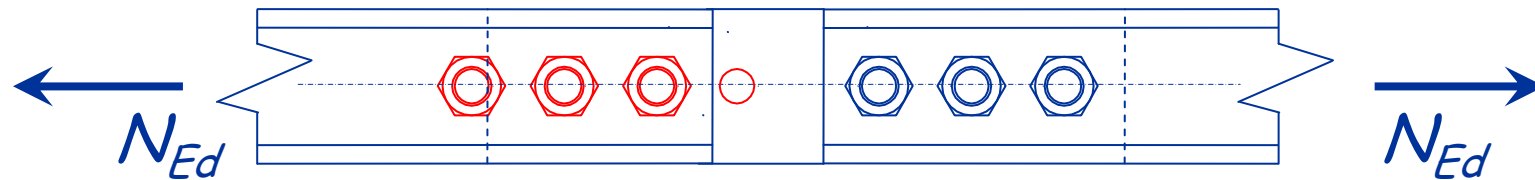
Il bullone si rompe quando la tensione tangenziale sul bullone è pari a  $f_{ub} / \sqrt{3}$

$$F_{v,Rd} = \frac{A (0.6 f_{ub})}{\gamma_{M2}}$$

$A$  Area nominale del bullone

# Resistenza di collegamenti bullonati con bulloni sollecitati a taglio

## 1 - Rottura dei bulloni a taglio



Se il piano di taglio non attraversa la parte filettata  
del bullone:

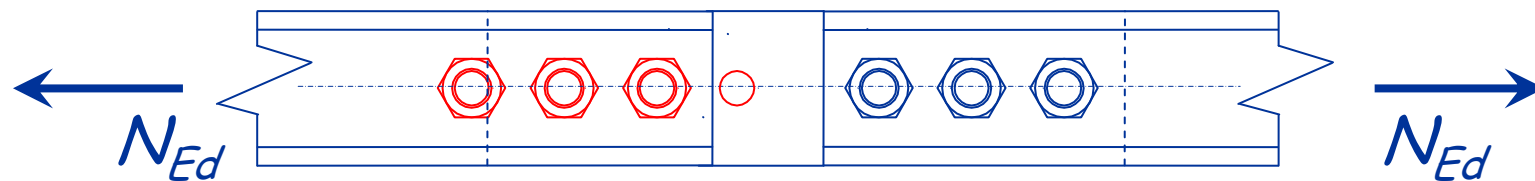
$$F_{v,Rd} = \frac{0.6 A f_{ub}}{\gamma_{M2}} \quad (\text{per tutte le classi di bulloni})$$

$A$  Area nominale del bullone



# Resistenza di collegamenti bullonati con bulloni sollecitati a taglio

## 1 - Rottura dei bulloni a taglio



Se il piano di taglio attraversa la parte filettata del bullone:

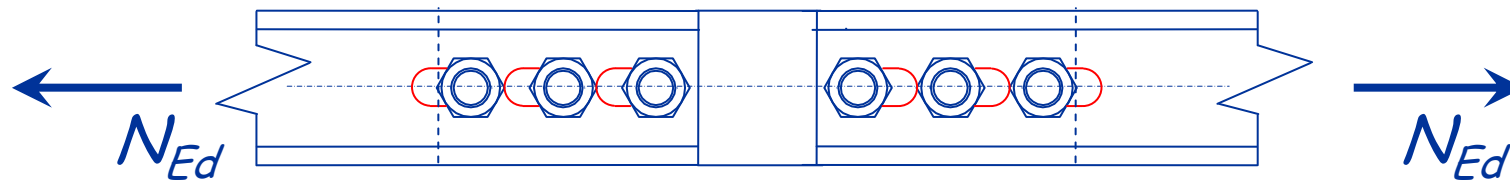
$$F_{v,Rd} = \frac{0.6 A_{res} f_{ub}}{\gamma_{M2}} \quad (\text{per bulloni di classe 4.6, 5.6 ed 8.8})$$

$$F_{v,Rd} = \frac{0.5 A_{res} f_{ub}}{\gamma_{M2}} \quad (\text{per bulloni di classe 6.8 e 10.9})$$

$A_{res}$  Area resistente del bullone

# Resistenza di collegamenti bullonati con bulloni sollecitati a taglio

## 2 - Rifollamento delle lamiere



Si ottiene quando la tensione esercitata dal bullone sulla lamiera raggiunge il valore convenzionale  $k \propto f_u$

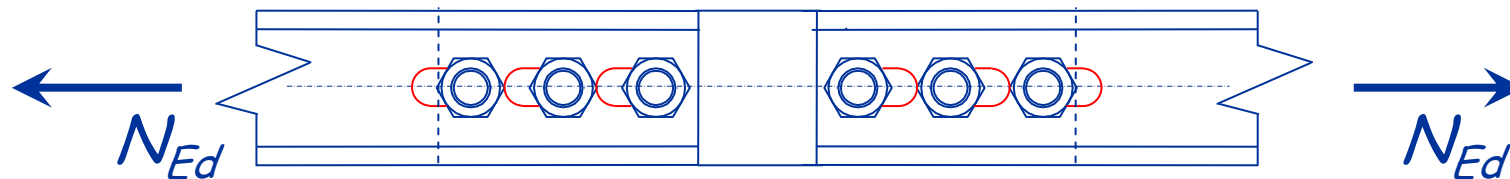
$$F_{b,max} = k \propto d t_p f_u$$

$d$       Diametro del bullone

$t_p$       Spessore della lamiera

# Resistenza di collegamenti bullonati con bulloni sollecitati a taglio

## 2 - Rifollamento delle lamiere



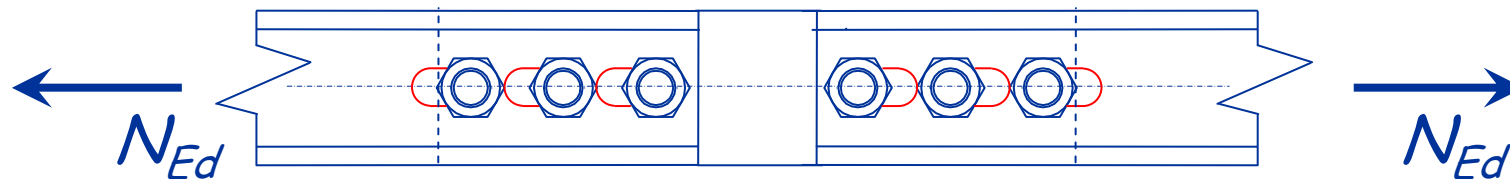
Si ottiene quando la tensione esercitata dal bullone sulla lamiera raggiunge il valore convenzionale  $k \propto f_u$

$$F_{b,max} = k \alpha d t_p f_u$$

Bulloni: di bordo	$k = \min\left(\frac{2.8 e_2}{d_0} - 1.7, 2.5\right)$	$\alpha = \min\left(\frac{e_1}{3 d_0}, \frac{f_{ub}}{f_u}, 1\right)$
interni	$k = \min\left(\frac{1.4 p_2}{d_0} - 1.7, 2.5\right)$	$\alpha = \min\left(\frac{p_1}{3 d_0} - 0.25, \frac{f_{ub}}{f_u}, 1\right)$

# Resistenza di collegamenti bullonati con bulloni sollecitati a taglio

## 2 - Rifollamento delle lamiere



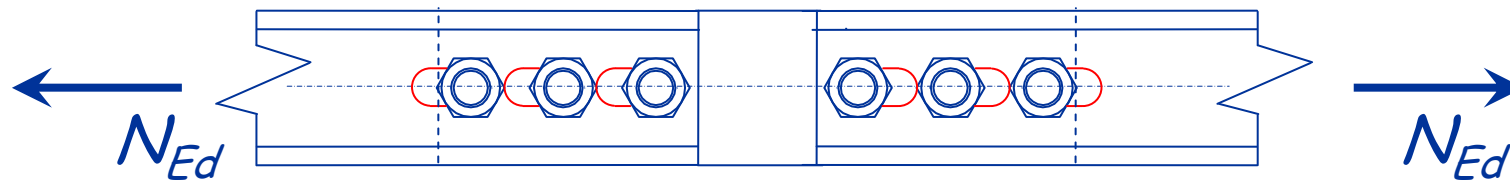
Si ottiene quando la tensione esercitata dal bullone sulla lamiera raggiunge il valore convenzionale  $k \propto f_u$

$$F_{b,Rd} = \frac{k \propto d t_p f_u}{\gamma_{M2}}$$

Bulloni: di bordo	$k = \min \left( \frac{2.8 e_2}{d_0} - 1.7, 2.5 \right)$	$\alpha = \min \left( \frac{e_1}{3 d_0}, \frac{f_{ub}}{f_u}, 1 \right)$
interni	$k = \min \left( \frac{1.4 p_2}{d_0} - 1.7, 2.5 \right)$	$\alpha = \min \left( \frac{p_1}{3 d_0} - 0.25, \frac{f_{ub}}{f_u}, 1 \right)$

# Resistenza di collegamenti bullonati con bulloni sollecitati a taglio

## 2 - Rifollamento delle lamiere



Osservazione su  $k$ :

$$F_{b,Rd} = \frac{k \alpha d t_p f_u}{\gamma_{M2}} = \frac{2.5 \alpha d t_p f_u}{\gamma_{M2}}$$

Secondo le vecchie norme:

Bulloni:  
di bordo

$$e_2 \geq 1.5 d_0$$

$$k = \min \left( \frac{2.8 e_2}{d_0} - 1.7, 2.5 \right) = 2.5$$

interni

$$p_2 \geq 3 d_0$$

$$k = \min \left( \frac{1.4 p_2}{d_0} - 1.7, 2.5 \right) = 2.5$$

# Verifica di collegamenti bullonati con bulloni sollecitati a taglio

1 - Rottura dei bulloni a taglio (rottura sulla sezione nominale)

$$F_{v,Ed} \leq F_{v,Rd} = \frac{0.6 A f_{ub}}{\gamma_{M2}} \quad (\text{rottura nella parte filettata})$$

$$F_{v,Ed} \leq F_{v,Rd} = \frac{0.6 A_{res} f_{ub}}{\gamma_{M2}} \quad \text{o} \quad F_{v,Ed} \leq F_{v,Rd} = \frac{0.5 A_{res} f_{ub}}{\gamma_{M2}}$$

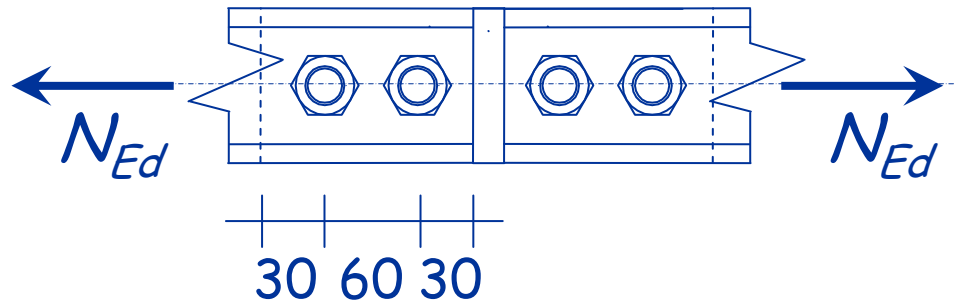
2 - Rifollamento della lamiera

$$F_{v,Ed} \leq F_{b,Rd} = \frac{k \alpha d t_p f_u}{\gamma_{M2}}$$

Bulloni: di bordo	$k = \min\left(\frac{2.8 e_2}{d_0} - 1.7, 2.5\right)$	$\alpha = \min\left(\frac{e_1}{3 d_0}, \frac{f_{ub}}{f_u}, 1\right)$
interni	$k = \min\left(\frac{1.4 p_2}{d_0} - 1.7, 2.5\right)$	$\alpha = \min\left(\frac{p_1}{3 d_0} - 0.25, \frac{f_{ub}}{f_u}, 1\right)$

# Esempio

Dati:



$N_{Ed}$	100 kN
Acciaio	S235
Asta	2 U 65x42
	$t_w = 5.5$ mm
2 Bulloni	M16, classe 5.6
Piatto	$t_p = 10$ mm

1 - Determinazione di  $F_{v,Rd}$

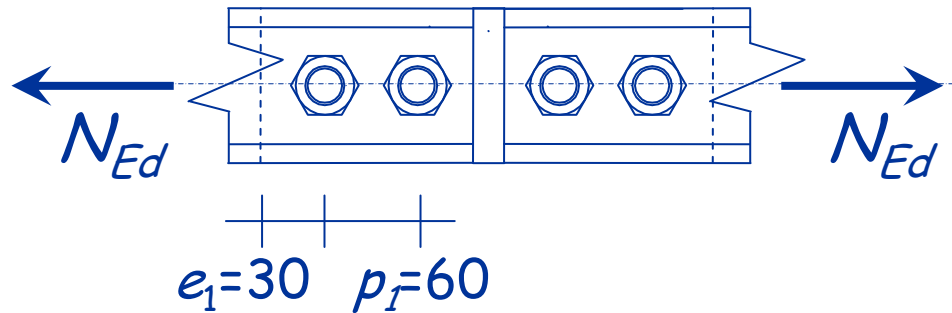
$$A = 201 \text{ mm}^2$$

$$F_{v,Rd} = \frac{0.6 A f_{ub}}{\gamma_{Mb}} = \frac{0.6 \times 201 \times 500}{1.25 \times 10^3} = 48.2 \text{ kN}$$

N.B. In questo caso, ogni bullone porta  $2 F_{v,Rd}$

# Esempio

Dati:



$N_{Ed}$	100 kN
Acciaio	S235
Asta	2 U 65x42
	$t_w = 5.5$ mm
2 Bulloni	M16, classe 5.6
Piatto	$t_p = 10$ mm

2 - Determinazione di  $F_{b,Rd}$  (del piatto)

$$\alpha = \min\left(\frac{e_1}{3 d_0}, \frac{p_1}{3 d_0} - 0.25, \left(\frac{f_{ub}}{f_u}\right), 1\right) = \min(0.588, 0.926, 1.39, 1)$$

$$k = 2.5$$

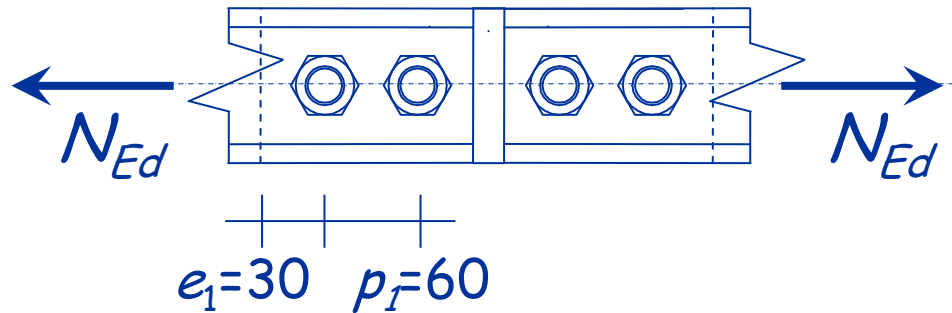
$$d = 16 \text{ mm} \Rightarrow d_0 = 17 \text{ mm}$$

Quasi sempre  $> 1$



# Esempio

Dati:



$N_{Ed}$	100 kN
Acciaio	S235
Asta	2 U 65x42
	$t_w = 5.5$ mm
2 Bulloni	M16, classe 5.6
Piatto	$t_p = 10$ mm

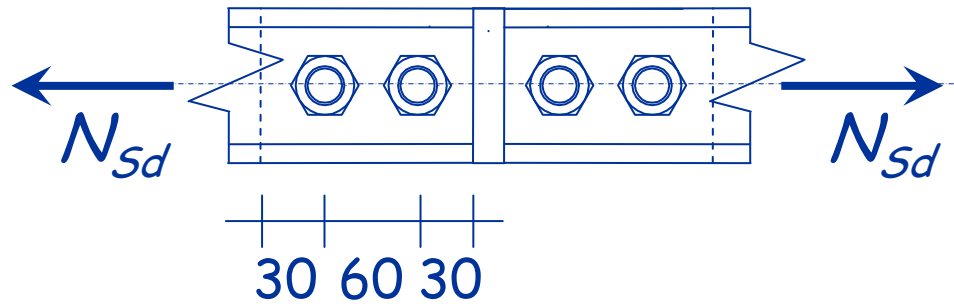
2 - Determinazione di  $F_{b,Rd}$  (del piatto)

$$k = 2.5 \quad \alpha = 0.555$$

$$F_{b,Rd} = \frac{2.5 \times 0.588 \times 16 \times 10 \times 360}{1.25 \times 10^3} = 67.7 \text{ kN}$$

# Esempio

Dati:



$N_{Ed}$	100 kN
Acciaio	S235
Asta	2 U 65x42
	$t_w = 5.5$ mm
2 Bulloni	M16, classe 5.6
Piatto	$t_p = 10$ mm

## 3 - Verifica

$$F_{v,Ed} = \frac{N_{Ed}}{n_b} = \frac{100}{2} = 50.0 \text{ kN} < F_{b,Rd} < 2 F_{v,Rd}$$

$$2 F_{v,Rd} = 2 \times 48.2 = 96.4 \text{ kN}$$

$$F_{b,Rd} = 67.7 \text{ kN}$$

Il collegamento è verificato

# Collegamenti bullonati a taglio

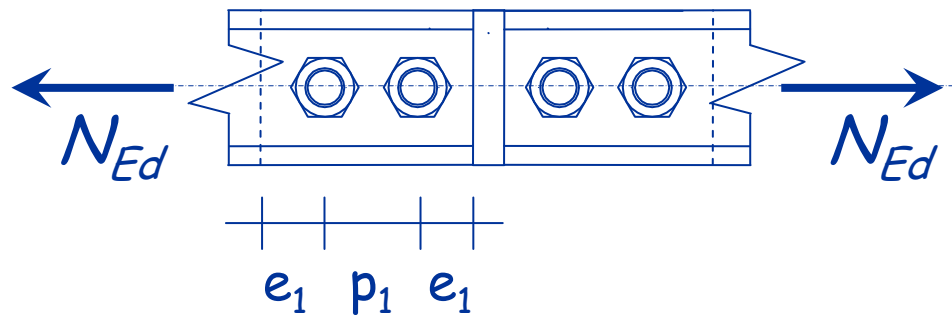
## suggerimento progettuale

### Dimensionamento:

- Progettare i bulloni in base alla resistenza a taglio
  - individuare il diametro massimo che si può usare (in base alle dimensioni dell'elemento da forare, ad esempio  $d < 1/3 h$  profilato)
  - stabilire classe e diametro dei bulloni
  - determinare numero dei bulloni
- Usare la verifica a rifollamento per definire la distanza minima tra i bulloni
  - Controllare che siano soddisfatte le prescrizioni sulle distanze massime

# Esempio

Dati:



$N_{Ed}$	250 kN
Acciaio	S235
Asta	2 U 65x42
	$t_w = 5.5$ mm
Bulloni	M16, classe 5.6
Piatto	$t_p = 10$ mm

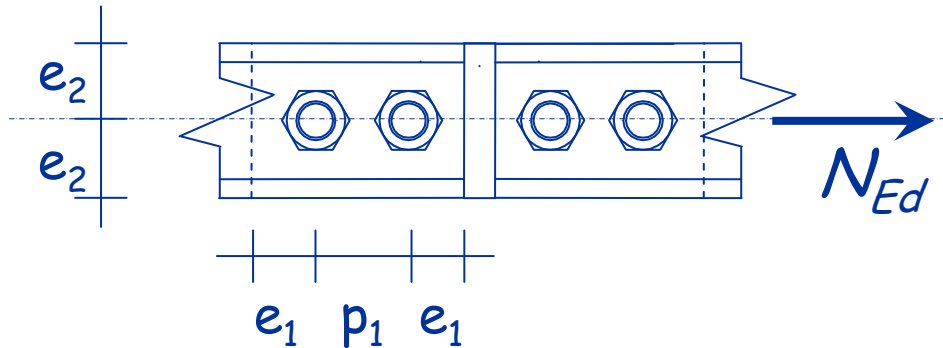
1 - Determinazione del numero di bulloni

$$n_b = \frac{N_{Ed}}{2 F_{v,Rd}} = \frac{250}{2 \times 48.2} = \cancel{2.59} \quad \text{Uso 3 bulloni}$$

N.B. In questo caso, ogni bullone porta  $2 F_{v,Rd}$

# Esempio

Dati:



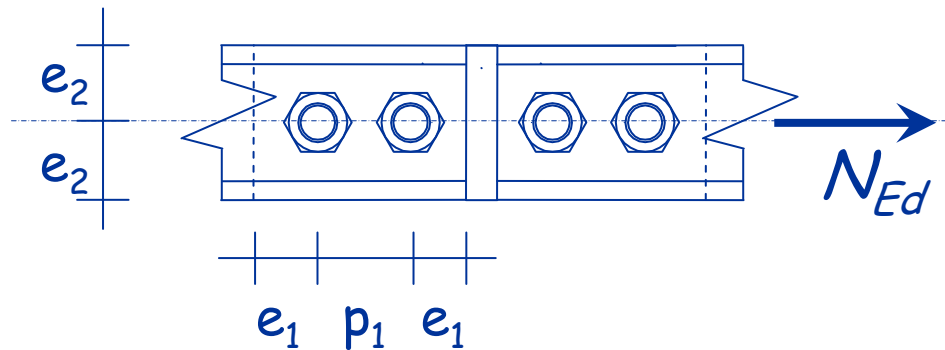
$N_{Ed}$	250 kN
Acciaio	S235
Asta	2 U 65x42
	$t_w = 5.5 \text{ mm}$
Bulloni	M16, classe 5.6
Piatto	$t_p = 10 \text{ mm}$

2 - Determinazione delle distanze (calcolo k)

$$\frac{e_2}{d_0} = \frac{65/2}{17} = 1.91 \geq 1.5 \quad \Rightarrow \quad k = 2.5$$

# Esempio

Dati:



$N_{Ed}$	250 kN
Acciaio	S235
Asta	2 U 65x42
	$t_w = 5.5 \text{ mm}$
Bulloni	M16, classe 5.6
Piatto	$t_p = 10 \text{ mm}$

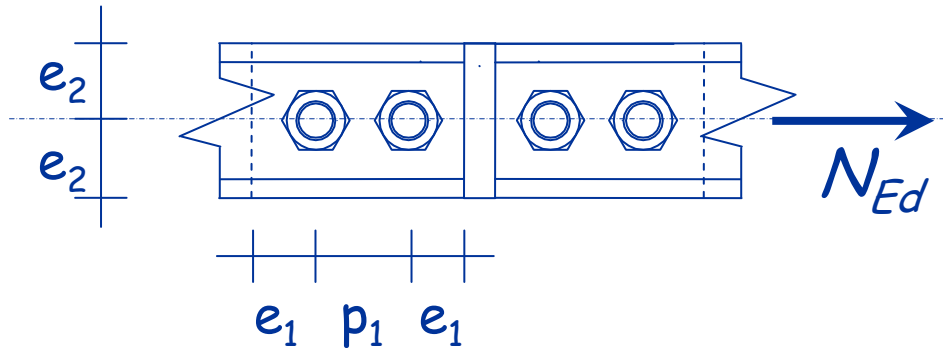
2 - Determinazione delle distanze (calcolo  $\alpha$  necessario)

$$F_{b,Rd} = \frac{N_{Ed}}{n_b} = \frac{250}{3} = 83.3 \text{ kN}$$

$$\alpha = \frac{\gamma_{M2} (N_{Ed} / 3)}{k d t_p f_u} = \frac{1.25 \times 83.3 \times 10^3}{2.5 \times 16 \times 10 \times 360} = 0.723$$

# Esempio

Dati:



$N_{Ed}$	250 kN
Acciaio	S235
Asta	2 U 65x42
	$t_w = 5.5$ mm
Bulloni	M16, classe 5.6
Piatto	$t_p = 10$ mm

2 - Determinazione della distanza  $e_1$  per  $\alpha = 0.723$

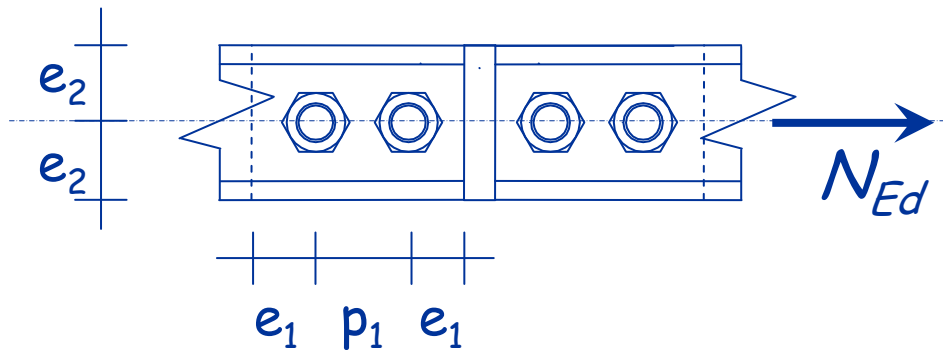
$$\alpha = \min\left(\frac{e_1}{3 d_0}, \frac{p_1}{3 d_0} - 0.25, \frac{f_{ub}}{f_u}, 1\right)$$

$$e_1 = 35 \text{ mm}$$

$$\alpha = \frac{e_1}{3 d_0} \Rightarrow e_1 = 3 \alpha d_0 = 3 \times 0.723 \times 16 = 34.7 \text{ mm}$$

# Esempio

Dati:



$N_{Ed}$	250 kN
Acciaio	S235
Asta	2 U 65x42
	$t_w = 5.5$ mm
Bulloni	M16, classe 5.6
Piatto	$t_p = 10$ mm

2 - Determinazione della distanza  $p_1$  per  $\alpha = 0.723$

$$\alpha = \min\left(\frac{e_1}{3 d_0}, \frac{p_1}{3 d_0} - 0.25, \frac{f_{ub}}{f_u}, 1\right)$$

$$p_1 = 50 \text{ mm}$$

$$\alpha = \frac{p_1}{3 d_0} - 0.25 \Rightarrow p_1 = 3 (\alpha + 0.25) d_0 = \cancel{46.7 \text{ mm}}$$



# Verifica di collegamenti bullonati con bulloni sollecitati a taglio e trazione

$$\frac{F_{v,Ed}}{F_{v,Rd}} + \frac{F_{t,Ed}}{1.4 F_{t,Rd}} \leq 1$$

$$F_{t,Sd} \leq F_{t,Rd}$$

$F_{v,Ed}, F_{t,Ed}$  Sollecitazioni di taglio e trazione

$F_{v,Rd}$  Resistenza a taglio del bullone

$F_{t,Rd}$  Resistenza a trazione del bullone

# Collegamenti bullonati ad attrito

- Tutti i bulloni prima di lavorare a taglio devono superare la resistenza ad attrito  
In genere ciò avviene per carichi bassi ed è quindi trascurato
- Lo scorrimento dovuto al gioco foro-bullone provoca deformazioni nella struttura  
In genere queste sono accettabili, ma devono essere comunque verificate
- Se si vogliono evitare queste deformazioni si può progettare il collegamento in modo che non superi la resistenza di attrito
  - solo per SLE
  - anche per SLU

# Collegamenti bullonati ad attrito

- Si usano in genere bulloni ad alta resistenza
- Resistenza ad attrito:

$$F_{s,Rd} = \frac{n \mu F_{p,C}}{\gamma_{M3}}$$

$F_{p,C}$  forza di precarico

$\mu$  coefficiente di attrito

- $\mu = 0.45$  giunzioni sabbiolate e protette
- $\mu = 0.30$  negli altri casi

$n$  numero di superfici di contatto